

九州大学応用力学研究所 正員 中村泰治  
正員 吉村 健  
渡辺公彦

本研究は、簡単な形状の吊橋断面につき、2自由度フラッタによばす前後縁スポイラーならびに中央分離帶、影響と風洞実験により調べたものである。

### 1. 2自由度フラッタの分類

われわれの研究<sup>1)</sup>によれば、系へのエネルギー流入形式の差によって、吊橋断面の2自由度フラッタを3つの型に分類することができる。具体的には、 $\beta = 2\text{自由度フラッタにおける対数発散率}$ ;  $\beta_1 = \text{見掛けた振り中心を固定した振りの自由度系の対数発散率}$ とするとき、

- |     |                                   |     |         |
|-----|-----------------------------------|-----|---------|
| (1) | $\beta - \beta_1 \gg \beta_1$     | ならば | クラシカル型  |
| (2) | $\beta - \beta_1 \approx \beta_1$ | ならば | 中間型     |
| (3) | $\beta - \beta_1 \ll \beta_1$     | ならば | 振りの自由度型 |

ここで、その分類が実行される。つまり、フラッタの型は風速によって異なることに注意せねばならない。

### 2. 実験結果と考察

風洞実験は、弦長 =  $2b = 40\text{cm}$  の2次元平板を基本とし、これに軽い発泡スチロール板を貼付けて、色々な断面に変形させた。振りおよび曲げ固有振動数 =  $f_0$  および  $f_{h0} \div 3.2\text{ Hz}$  および  $1.6\text{ Hz}$ ;  $2m^2/\rho f^2 \div 300$ ,  $2f_0^2/f_{h0}^2 \div 200$  であった。設定迎角は  $0^\circ$  であり、実験中、平均迎角の変化は小さく、高々  $0.5^\circ$  であった。

図1～図3は、それより、断面比 6% および 22% の矩形断面柱ならびに 9% の H型断面柱に対する結果であるが、上記の3つのフラッタを示す例としてあげた。図中、縦軸は対数発散率および見掛けた振り中心位置を示し、横軸は無次元風速  $\bar{V} = \sqrt{f_0}f$  で、 $f_0$  は発振中の振り振動数 ( $< f_0$ ) である。また、図中、1点鎖線は、適当な軸位置を固定し、風速をかえて振りの自由度振動の対数発散率を求めたものである。 $\beta_1$  は、これらのデータをクロスプロットして求められる。煩雑を避けるため、以下各図ではこのような操作を省略し、單に

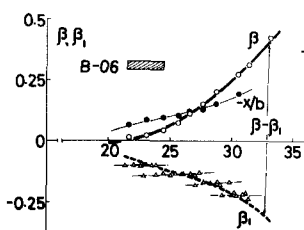


図1 6% 矩形断面柱

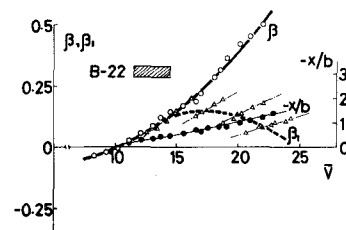


図2 22% 矩形断面柱

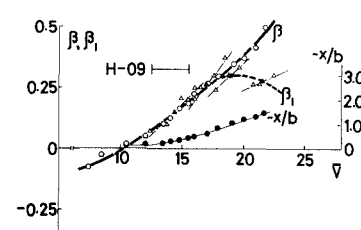


図3 9% H型断面柱

$\beta_1$  の測定値を記す。3つの図に $\beta$  と  $\beta_1$  の関係に注目せよ。図1は明らかにクラシカル型フラッタである。図2と図3では、風速が増加とともに、2自由度フラッタは振り自由度型より中间型を経て、クラシカル型へと移行する。また、図2と図3は、異なる断面比をもつ矩形断面柱とH型断面柱がほぼ同一のフラッタ特性をもつことを示す。このことから、同じ断面比の上記2種の断面を比較すると、H型断面柱の方がはるかに有効 bluffness が大きく、振り自由度型フラッタに早く移行することが了解される。

図4(1)は、断面比6%の 平板+ストリニガ 断面柱の結果である。

図1と比較すればわかるように、平板+ストリニガ 断面柱のフラッタ特性は矩形断面柱とほとんど変化しない。この模型に対して、前後線に1%高のスパイラルを取付けた驚くべき効果ともたらし、図4(2)のようになる。すなはち、わずかな高さのスパイラルを取付けて限界風速を著しく低下させ、限界風速近傍では振り自由度型フラッタへ移行する。このとき、図4の(1)と(2)を比較すると、スパイラルを取付けにより、 $\beta_1$  に少しあげられ、 $\beta - \beta_1$  はほとんど変化しないことは興味深い。このような変化が前縁はくびブルの拡大（および後縁はくびブルの出現）によるものとは疑わぬ。

さて、中央分離帶はどのように場合に有効であろうか？図5の(1)と(2)は、前述の 平板+ストリニガ 断面に、それと同様に3%および6%高の中央分離帶を取付けたものである。すなはち、分離帶の効果は、まず、クラシカル型フラッタに対する大きさ、限界風速の著しい増大をもたらす。その効果はきわめて特徴的である。3%高の分離帶は  $\beta_1$  の半分弱、 $\beta - \beta_1$  に対する効果もさることながら、 $\beta - \beta_1$  に対する効果が著しいのである。

さらに、この模型にスパイラルをつける場合についても効果は著しく、限界風速はきわめて大きくなれる。6%断面比の矩形断面柱に対する分離帶の効果は図5と同様であった。しかし、図6に示すように、比較的大きい断面比(22%)に肉いこそ、効果は小さくなる。図2と図4の(2)とは、フラッタ特性が類似するにもかかわらず、中央分離帶の効果に大きな差があることが問題として残る。また、H型断面柱につれていえば、6%比の断面柱に対する分離帶の効果は著しく、9%比の断面柱に対するのは図6と同様に小さくなる。このような中央分離帶の作用機構の詳細につれては、前縁はくびブルの大きさが関係すると思われる、近く流れ観察を行おう予定である。その結果につれては、講演当日に発表する。

本研究の成果は、吊橋の耐風設計に有用な指針となることを考えられる。

#### 参考文献

- 中村泰治、吉村 健； 吊橋断面の2自由度フラッタについて、土木学会論文報告集、第226号、1974年6月、pp.13~20。

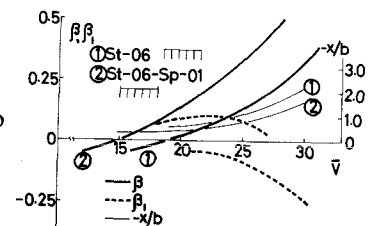


図4 平板+ストリニガ 断面柱

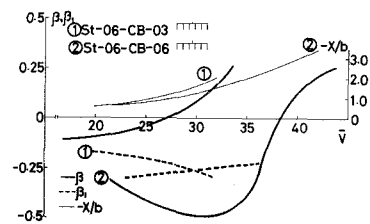


図5 平板+ストリニガ 断面柱  
× 中央分離帶

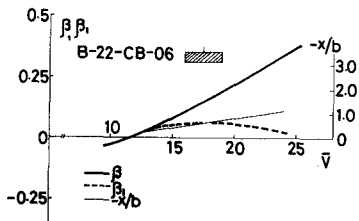


図6 22% 矩形断面柱と  
中央分離帶